

ارزیابی فراوانی و تغییرات عناصر پلاتینیوم و پالادیوم در کانی‌های پیروکسن و کرومیت پیروکسینیت‌های منطقه نیریز

مرضیه بازآمد^۱ و حسن میرنژاد^{(۲)*}

۱. کارشناسی ارشد زمین‌شناسی اقتصادی، دانشکده زمین‌شناسی، دانشگاه تهران

۲. دانشیار دانشکده زمین‌شناسی، دانشگاه تهران

تاریخ دریافت: ۹۲/۲/۲۸

تاریخ پذیرش: ۹۲/۸/۱۳

چکیده

افیولیت نیریز واقع در استان فارس که در کرتاسه پایانی و در اثر بسته شدن اقیانوس نئوتیس و برخورد صفحه عربستان با صفحه ایران زمین تشکیل شده است، دارای پتانسیل‌های فراوان معدنی بخصوص کرومیت می‌باشد. پیروکسینیت یکی از واحدهای اصلی تشکیل‌دهنده این افیولیت بوده و تجزیه ریزکاوش الکترونی (EMP) نشان می‌دهد کلینوپیروکسن (دیوپسید)، ارتوپیروکسن (انستاتیت) و الیوین (کریزولیت) غالبترین کانی‌های آن می‌باشند. فراوانی Cr_2O_3 ، Al_2O_3 ، Fe_2O_3 ، MgO و TiO_2 در کرومیت‌های موجود در پیروکسینیت‌های نیریز تطابق خوبی با کرومیت‌های تیپ انبانی^۱ دارند و از مانگمایی با ترکیب بونینیتی دارای $(\text{Cr}+\text{Al})/\text{CrO}_2$ با $\text{Cr} \# 100$ پائین منشا گرفته‌اند. نتایج داده‌های حاصل از تجزیه طیف‌سنج جرمی - پلاسمای جفت‌شده القایی (ICP-MS) به روش آماده‌سازی آذرمحک نشانگر غنی‌شدگی عناصر گروه پلاتین در توده افیولیتی نیریز نسبت به گوشه‌های اویله است. به علاوه تمرکز پلاتینیوم و پالادیوم در کرومیت‌های موجود در پیروکسینیت‌ها نسبت به کانی‌های پیروکسن بالاتر می‌باشد. به طور کلی میزان این عناصر در پیروکسینیت‌های نیریز بسیار کمتر از حد اقتصادی (5 ppm) است.

واژه‌های کلیدی: افیولیت، پیروکسینیت، عناصر گروه پلاتین، نیریز

مقدمه

متمرکز می‌شوند (Proenza et al., 2008). عناصر گروه پلاتین (Ru, Os, Ir) به دو گروه شامل عناصر کمتر محلول یا IPG ها (Pt, Pd, Rh) و عناصر محلول‌تر یا PPGE ها (Barnes and Francies, 1995) تقسیم‌بندی می‌شوند (Ir, Rh). این عناصر که در سیر تکاملی و شکل‌گیری کره زمین در سنگ‌های مافیک و اولترامافیک تمرکز می‌یابند، در طول فرآیندهای دگرگونی، دیاژنز، دگرسانی و هوازدگی غیرمتحرک بوده و کمتر تحت تاثیر قرار می‌گیرند. از این‌رو، مهمترین محیط زمین‌شناسی برای پی‌جوبی و اکتشاف عناصر گروه پلاتین سنگ‌های مافیک و اولترامافیک هستند. مقدار

عناصر گروه پلاتین شامل شش فلز پلاتینیوم (Pt)، پالادیوم (Pd)، روđیوم (Ru)، ایریدیوم (Ir)، روتینیوم (Rh) و اسمبیوم (Os) هستند که همگی خواص فیزیکی و شیمیابی یکسانی داشته و در محیط‌های زمین‌شناسی مشابه یافت می‌شوند و تا حدودی خاصیت جانشینی با یکدیگر را دارند. این عناصر در ترکیب پوسته جامد زمین بسیار نادر بوده و از نظر ژئوشیمیابی دارای خواص سیدروفیل و کالکوفیل هستند که در فازهای سولفیدی تجمع می‌یابند و در بلورهای کرومیت و زمینه سیلیکاته به میزان کمتری

صورت پذیرفته است. پیروکسن‌ها و کرومیت‌های موجود در آن‌ها برای تعیین غلظت عناصر Pt و Pd به روش طیفسنجی جرمی-پلاسمایی جفت شده القایی ICP-MS با آماده سازی آذر محک در آزمایشگاه علوم زمین واقع در شهر سادبوري کشور کانادا آنالیز شدند.

سنگ‌نگاری و کانه‌نگاری

بخش‌های تشکیل‌دهنده الترامافیک‌های نیریز شامل هارزبورژیت، پیروکسنتیت، لرزولیت سرپانتینی شده، الیوین پیروکسنتیت و دونیت به شدت تجزیه شده می‌باشند. تمام کانی‌های سازنده این سنگ‌ها دارای مقادیر متغیری از الیوین، ارتوپیروکسن، کلینوپیروکسن، سرپانتین و کانی‌های اپاک هستند. شدت دگرسانی در دونیت‌ها زیاد است و همچنین حاشیه و محل شکستگی الیوین‌های موجود در آن‌ها به سرپانتین تجزیه شده‌اند. بلورهای الیوین سرپانتینی شده، حواشی گرد شده دارند در حالی که قطعات نسبتاً سالم الیوین غالباً زاویه‌دار هستند. در نمونه‌های حاوی پیروکسن فراوانتر، شدت سرپانتینی شدن کمتر از نمونه‌های با محتوای بالای الیوین است.

ارتوپیروکسنتیت‌ها که در نمونه دستی به رنگ‌های قهوه‌ای تا برزني دیده می‌شوند غالباً از ارتوپیروکسن به همراه ذرات کرومیت به صورت افسان تشکیل یافته اند (شکل ۲ الف). مطالعه میکروسکوپی این نمونه‌ها نشان می‌دهد که کانی‌های تشکیل دهنده ارتوپیروکسنتیت‌ها به ترتیب فراوانی شامل ارتوپیروکسن (۷۵ درصد)، کرومیت (۱۱ درصد)، کلینوپیروکسن (۸ درصد)، الیوین (۴ درصد) و کانی‌های دیگر (۲ درصد) می‌باشند. بافت سنگ‌ها گرانولار و در بعضی موارد ارتوپیروکسنس‌ها دارای تیغک‌هایی از کانی‌های کلینوپیروکسن هستند (شکل ۳ الف). کانی‌های ارتوپیروکسن، به خصوص از حاشیه و در امتداد شکستگی‌ها به کانی‌های ثانویه و عمده‌ای باستیت تجزیه می‌شوند. بیشتر الیوین‌ها نیز تحت تاثیر دگرسانی در حال تجزیه به سرپانتین هستند و خاموشی موجی نشان می‌هند. کرومیت‌ها معمولاً یا به صورت خود شکل و پراکنده در متن سنگ و یا بصورت اجتماعی از بلورهای ریز مشاهده می‌شوند. اکسیدهای آهن در داخل شکستگی‌ها مرکز بوده و احتمالاً در هنگام پدیده سرپانتینی شدن به وجود آمده‌اند.

کلینوپیروکسنتیت‌ها که به رنگ سبز هستند حاوی کانی‌های کلینوپیروکسن به اندازه ۳-۲ میلیمتر می‌باشند (شکل ۲ ب) در این سنگ‌ها علاوه بر کلینوپیروکسن (۷۶ درصد)، کانی‌های ارتوپیروکسن (۱۰ درصد)، پلازیوکلاز (۷ درصد) و الیوین (۵ درصد) و کانیهای فرعی (۲ درصد) نیز به ترتیب فراوانی وجود دارند. کلینوپیروکسن نیمه شکل‌دار و درشت می‌باشد (شکل ۳ ب) و حاشیه کانی‌های الیوین این سنگ‌ها به ایدنگسیت دگرسان شده‌اند.

مطالعه مقاطع نازک صیقلی در نور انعکاسی نشان می‌دهد

عناصر گروه پلاتین در سنگ‌های آذرین فلزیک و دگرگونی در محدوده کمتر از قسمت در میلیارد¹ و در سنگ‌های مافیک و الترامافیک تقریباً ۱۰ قسمت در میلیارد در تغییر است. عیار عناصر گروه پلاتین در یک کانسار دارای ارزش اقتصادی بین ۵ تا ۱۰ قسمت در میلیون² می‌باشد. هدف از انجام این تحقیق پتانسیل یابی عناصر پلاتینیوم و پالادیوم در پیروکسنتیت‌های نیریز، بررسی میزان تمرکز آن‌ها در پیروکسن یا کرومیت در پیروکسنتیت‌های و همچنین تعیین نوع تیپ و منشا کرومیت در پیروکسنتیت‌های منطقه نیریز است.

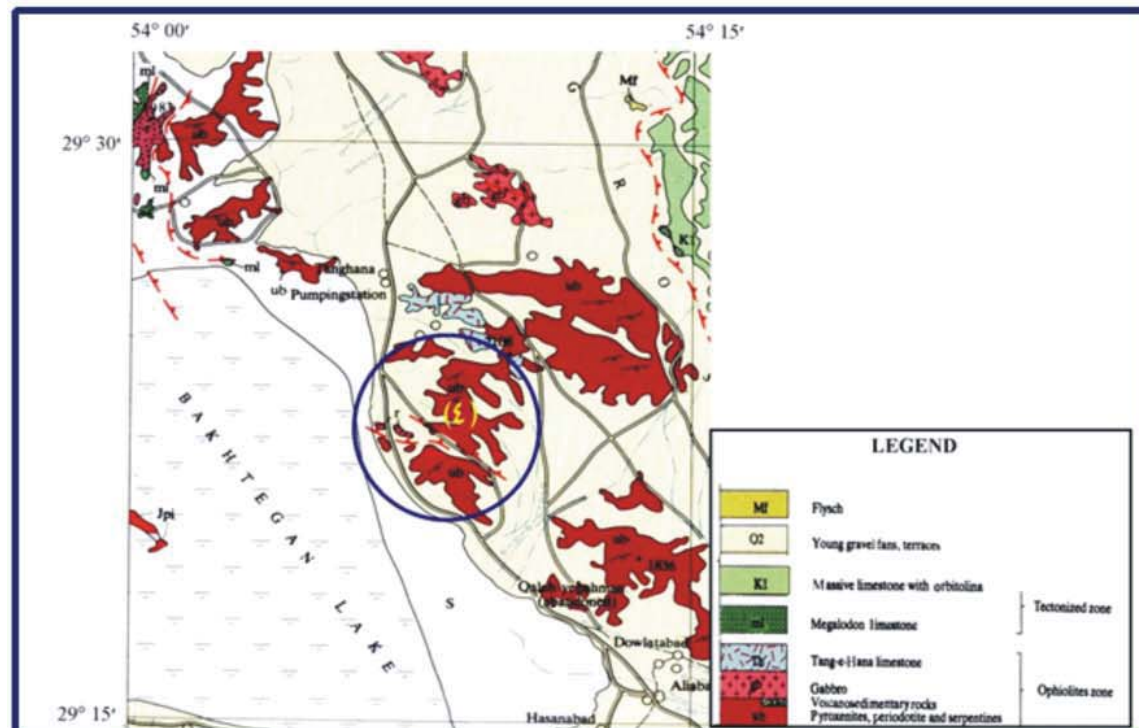
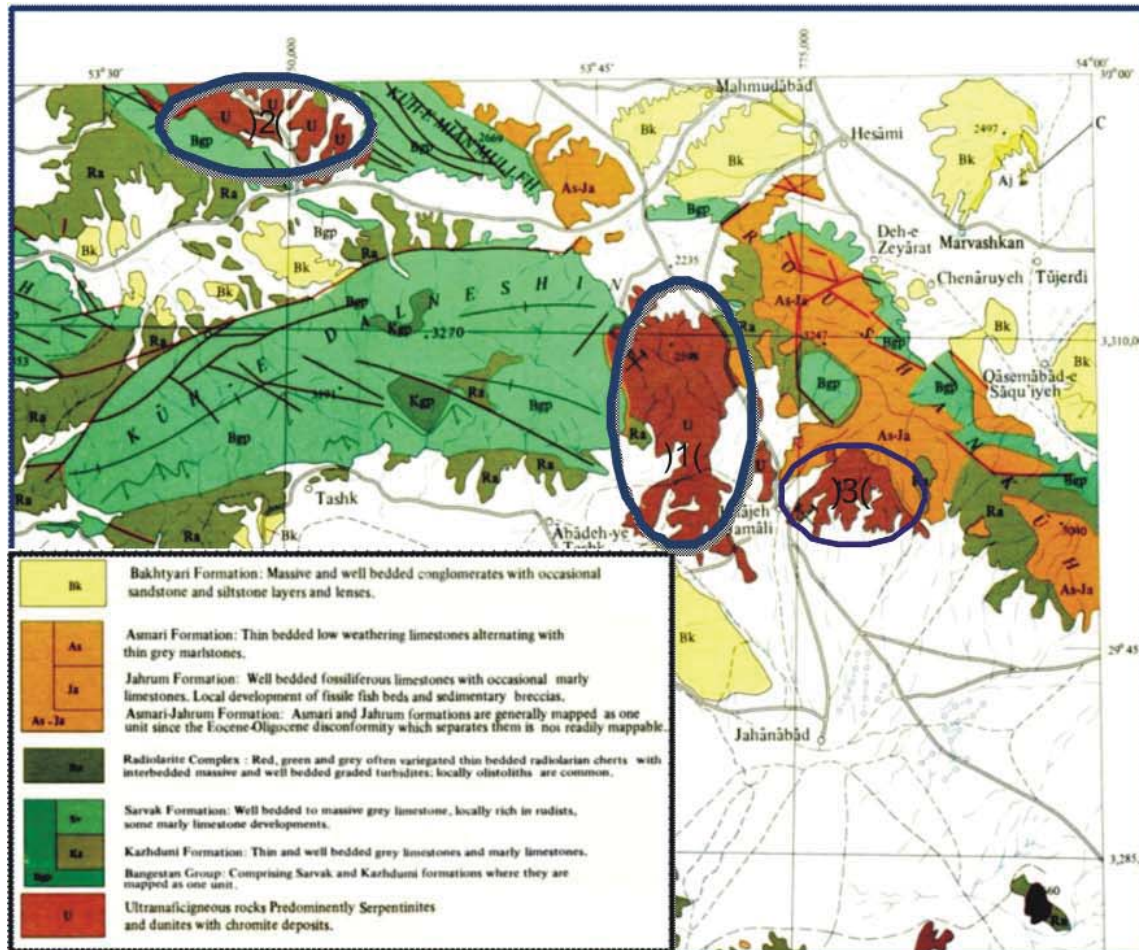
زمین‌شناسی منطقه

افیولیت نیریز با روند شمال‌غربی - جنوب‌شرقی قسمتی از لیتوسفر اقیانوسی نئوتیس بوده و در یک نوار به طول ۱۰۰ کیلومتر و عرض متوسط ۱۴ کیلومتر به صورت تکه‌های جداگانه از شمال نیریز تا شمال‌غرب کوه دالشین امتداد دارد (آقاباتی، ۱۳۸۳). مناطق مورد بررسی در این تحقیق، بخش‌های افیولیتی خواجه جمالی، تنگ‌خنا، دروازه چنان و کشتک می‌باشند (شکل ۱ الف و ب). مجموعه افیولیتی نیریز از پائین به بالا شامل بخش تکتونیت (هارزبورژیت، لرزولیت، دونیت)، زون انتقالی (سنگ‌های مافیک و الترامافیک بین لایه‌ای) و توالی پوسته‌ای (گابروی ایزوتروپ، دایک‌های ورقه‌ای، گدازه‌های بالشی، و رادیولاریت) است (Sarkarinejad, 2003). این افیولیت بر روی سازند پیچگون رانده شده و در بالای این سازند، توالی گوشته‌ای قرار گرفته است (Babaie et al., 2001). الترامافیک‌ها حدود ۹۰٪ مجموعه افیولیتی خواجه جمالی را تشکیل می‌دهند که هارزبورژیت، دونیت، پیروکسنتیت و کرومیت از واحدهای سنگ‌های مافیکی گسترش بیشتری نسبت به بخش‌های الترامافیکی دارند. در دروازه چنان پیروکسنتیت، دونیت سرپانتینی شده، هارزبورژیت و کرومیت از واحدهای سنگی اصلی در منطقه می‌باشند، اما در منطقه کشتک دونیت سرپانتینی شده سنگ‌شناسی غالب را تشکیل می‌دهد. بخش‌های کرومیت در توده افیولیتی نیریز غالباً با پریدوتیت‌ها و ارتوپیروکسنتیت‌ها همراه می‌باشند و بافت توده‌ای و پوست پلنگی دارند.

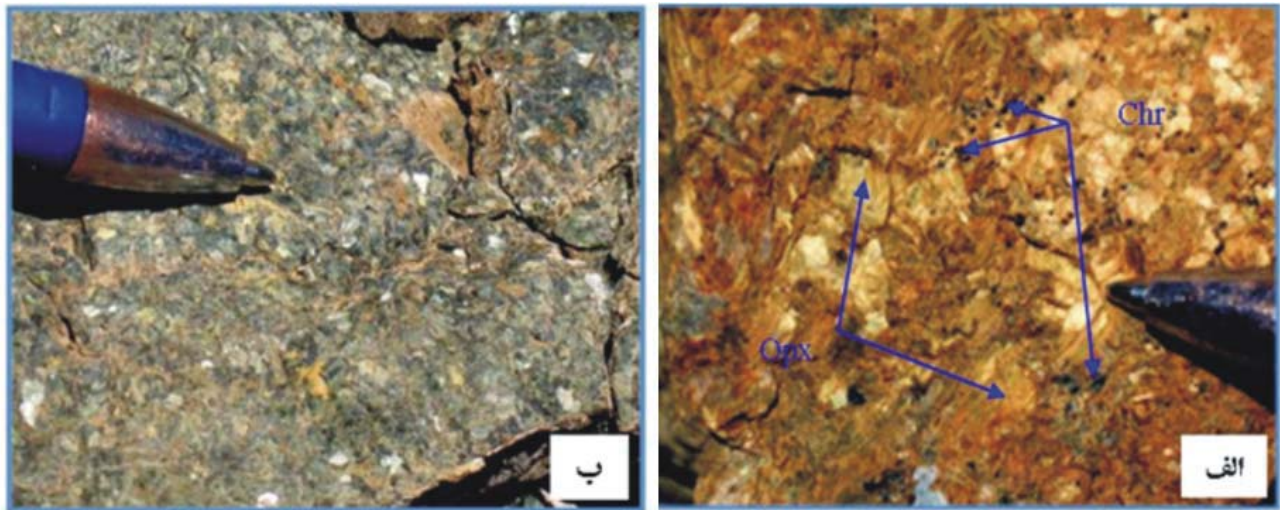
روش مطالعه

برای تحقق اهداف پروژه پس از نمونه‌برداری از انواع پیروکسنتیت‌ها و کرومیت‌های موجود در آن‌ها و تهیه مقاطع نازک - صیقلی و انجام مطالعات پتروگرافی به منظور تعیین شیمی کانی‌ها، تعداد ۱۵ نقطه از پیروکسن‌ها و ۱۰ نقطه از کرومیت‌ها در آزمایشگاه کانی‌شناسی دانشگاه کارلتون کشور کانادا مورد تجزیه ریزکاوش الکترونی (EMP) قرار گرفتند. مقادیر Fe_2O_3 و FeO پس از اندازه‌گیری آهن کل توسط EMP، بر پایه استوکیومتری اسپینل برآورد گردید. محاسبات کاتیونی و تعیین نوع پیروکسن‌ها با استفاده از نرم افزار Minpet و بر اساس شش اتم اکسیژن

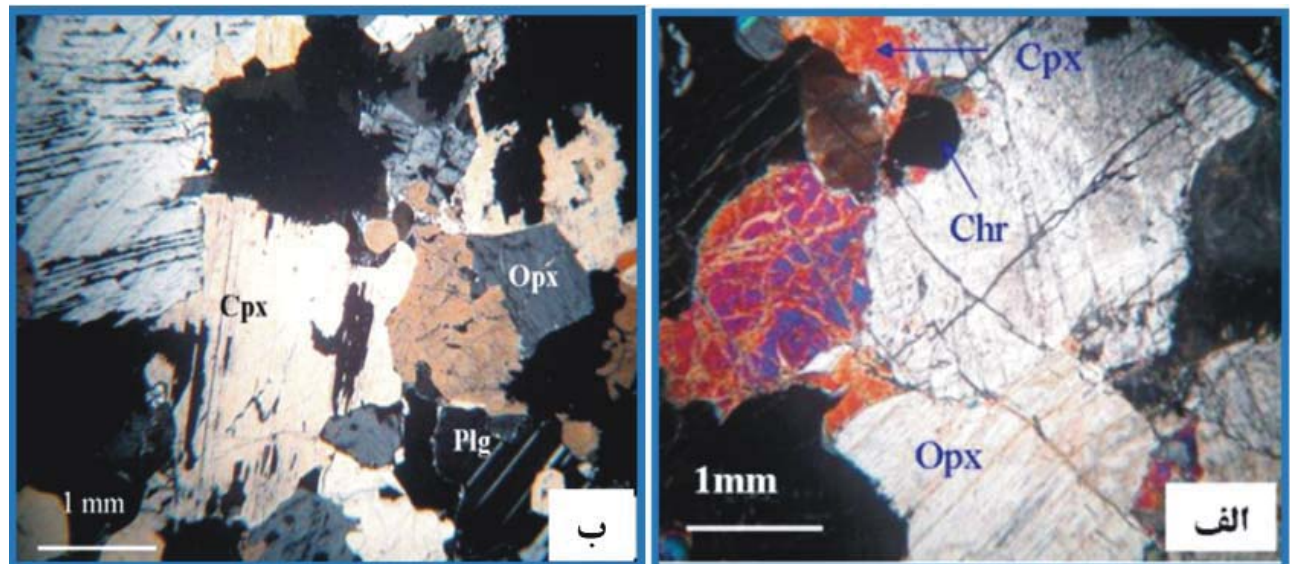
1. ppb
2. ppm



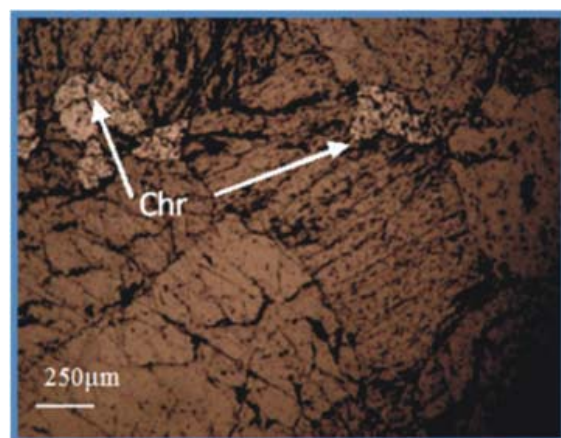
شکل ۱. نقشه زمین شناسی منطقه نیریز، الف) (۱) خواجه جمالی، (۲) تنگ حنا و (۳) کشتک (برگرفته از نقشه زمین شناسی ۱/۲۵۰۰۰۰ نفت ایران، ۱۹۷۹). ب) (۴) ناحیه دروازه چنان (برگرفته از نقشه زمین شناسی ۱/۲۵۰۰۰۰ نیریز، شرکت ملی نفت ایران، ۱۹۸۵).



شکل ۲. (الف) رگه ارتوپیروکسینیتی حاوی دانه‌های کرومیت (Chr)، و ارتوپیروکسین (Opx)، (ب) کلینوپیروکسینیت (علائم اختصاری کانی‌ها برگرفته از Whitney and Evans, 2010).



شکل ۳. (الف) کانی‌های ارتوپیروکسین (Opx)، کلینوپیروکسین (Cpx) و کرومیت (Chr) در ارتوپیروکسینیت منطقه نیریز، (ب) کانی‌های ارتوپیروکسین (Opx)، کلینوپیروکسین (Cpx) و پلاژیوکلاز (Plg) در کلینوپیروکسینیت‌های منطقه نیریز (علائم اختصاری کانی‌ها برگرفته از Whitney and Evans, 2010).



شکل ۴. بلورهای کرومیت (Chr) در نور انعکاسی.

انستاتیت‌ها در ارتوپیروکسینیت‌های نیریز بین $84/4$ تا $91/3$ بوده و دارای ترکیب میانگین $(\text{En}_{87.6} \text{Wo}_{1.5} \text{Fs}_{11})$ و فرمول شیمیایی $\text{Mg}_{0.92} \text{Cr}_{0.02} \text{Al}_{0.06} (\text{Si}_{1.96} \text{O}_6)_{10.04}$ هستند. ارتوپیروکسین‌ها $(\text{Si}_{1.94} \text{Al}_{0.06} \text{O}_6)_{2}$, $\text{Ca}_{0.03} \text{Fe}_{0.2} \text{Mg}_{1.7}$ هستند. در جدول ۳ نتایج تجزیه ریزکاوش الکترونی کانی‌های الیوین ارائه شده است. میزان MgO الیوین‌ها بالا، ترکیب آنها کریزوکلیت (جدول ۳ و شکل ۶) و فرمول ساختاری آنها $\text{Mg}_{0.85} \text{Fe}_{0.15} (\text{SiO}_4)_2$ می‌باشد.

نتایج حاصل از تجزیه EMP نیز وجود کرومیت در پیروکسین‌ها را ثابت کرده است (جدول ۴). میزان اکسید کروم انساتاتیت‌ها بسیار بالاست و موقعیت محدوده ترکیب کانی‌شناسی آنها را می‌توان با ترسیم نقاط بر روی نمودار A.C.F داد (شکل ۷).

که بیش از ۸۵ درصد کانی‌های اپاک موجود در پیروکسین‌ها، کرومیت می‌باشند. کرومیت‌ها بصورت نیمه شکل تا شکل دار، به رنگ خاکستری و بدون رخ دیده می‌شوند و دارای شکستگی می‌باشند (شکل ۴).

ذوکشیمی

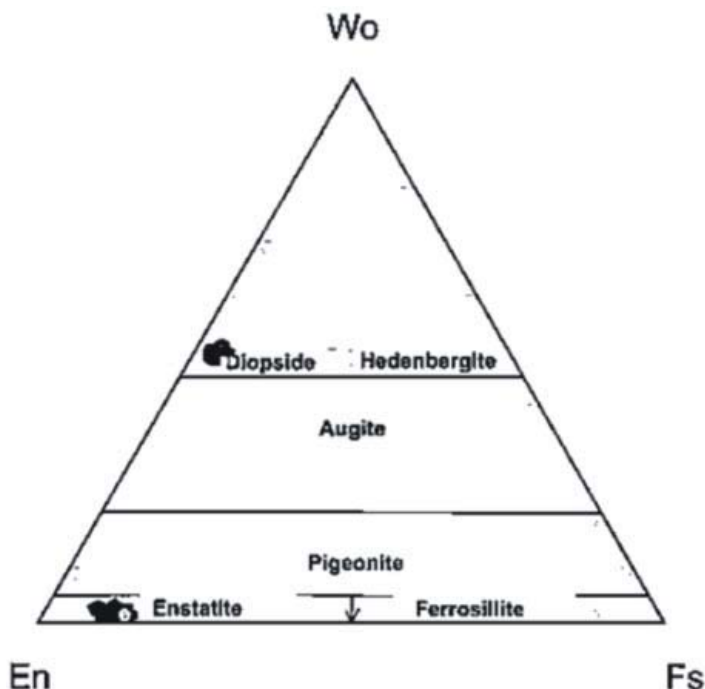
تجزیه به روش ریزکاوالکترونی بر روی ۱۵ نقطه از پیروکسین‌های نیریز (جدول‌های ۱ و ۲) نشان می‌دهد که کلینوپیروکسین‌ها و ارتوپیروکسین‌ها به ترتیب از دیوپسید و انساتاتیت غنی می‌باشند (شکل ۵). بر اساس درصد اکسیدهای تشکیل دهنده، انساتاتیت در ترکیب کلینوپیروکسین‌ها از $47/7$ تا $48/1$ (محاسبه شده بر مبنای شش اکسیژن) متغیر است و دارای ترکیب $(\text{En}_{47.9} \text{Wo}_{46.7} \text{Fs}_{5.4})$ و فرمول شیمیایی $(\text{Ca}_{0.9})$ می‌باشد.

جدول ۱. ترکیب شیمیایی ارتوپیروکسین‌ها در پیروکسین‌های نیریز (مقادیر بر حسب درصد وزنی می‌باشند).

Descrip.	۱	۲	۳	۴	۵	۶	۷	۸	۹
Na_2O	۰/۰۱	۰/۰۲	۰/۰۱	۰	۰/۰۲	۰/۰۲	۰/۰۱	۰/۰۲	۰/۰۳
CaO	۰/۹۶	۰/۸۸	۰/۷۹	۰/۸۱	۰/۵۳	۰/۸۹	۰/۷۹	۰/۶۴	۱/۰۷
FeO	۷/۱۱	۷/۲۳	۵/۷۷	۷/۴۵	۵/۱۶	۸/۹۸	۷/۸۸	۷/۴۳	۷/۰۲
MgO	۳۴/۱۲	۳۵/۷۶	۳۴/۵۱	۳۳/۹۸	۳۵/۷۳	۳۱/۶۳	۳۳/۵۵	۳۴/۲۱	۳۳/۵۹
TiO_2	۰	۰/۰۱	۰/۰۲	۰	۰/۰۳	۰/۰۲	۰/۰۳	۰/۰۲	۰
MnO	۰/۱۰	۰/۱۹	۰/۱۴	۰/۱۱	۰/۱۷	۰/۲۴	۰/۱۹	۰/۲۱	۰/۱۷
Al_2O_3	۰/۶۲	۰/۸۲	۰/۴	۰/۲۱	۱/۰۹	۱/۹۶	۱/۸۶	۱/۶	۰/۷۳
Cr_2O_3	۰/۴۵	۰/۵۱	۰/۲۷	۰/۱۸	۰/۴۵	۰/۳۹	۰/۴۲	۰/۳۸	۰/۴۷
SiO_2	۵۸/۱۵	۵۶/۴۱	۵۹/۱۱	۵۸/۴۱	۵۷/۱۵	۵۶/۴۹	۵۵/۹۷	۵۵/۵۴	۵۸/۰۸
Total	۱۰۰/۰۶	۱۰۰/۰۶	۱۰۱/۰۱	۱۰۰/۰۲	۱۰۰/۰۸	۱۰۰/۶	۱۰۰/۷۰	۱۰۰/۱۰	۱۰۰/۲۰
TSi	۱/۹۹	۱/۹۲	۲/۰۲	۲/۰۲	۱/۹۴	۱/۹۶	۱/۹۳	۱/۹۲	۱/۵۴
TAl	۰/۰۱	۰/۰۳	۰	۰	۰/۰۶		۰/۰۷	۰/۰۶	۰/۰۲
M_1Al	۰/۰۲	۰	۰/۰۲	۰/۰۱	۰/۰۱	۰/۰۵	۰	۰	۰
M_1Ti	۰	۰	۰	۰	۰	۰	۰	۰	۰
M_1Cr	۰/۰۱	۰/۰۱	۰/۰۱	۰/۰۱	۰/۰۱	۰/۰۱	۰/۰۱	۰/۰۱	۰/۰۱
M_1Mg	۰/۹۶	۰/۹۹	۰/۹۸	۰/۹۹	۰/۹۸	۰/۹۴۳	۰/۹۸	۰/۹۹	۰/۹۹
M_2Mg	۰/۷۸	۰/۸۳	۰/۷۸	۰/۷۶	۰/۸۳	۰/۶۹	۰/۷۴	۰/۷۷	۰/۳۴
M_2Fe_2	۰/۱۸	۰/۱۸	۰/۱۶	۰/۱۹	۰/۱۵	۰/۲۶	۰/۲۳	۰/۲۱	۱۳۴/
M_2Mn	۰/۰۰۴	۰/۰۰۵	۰/۰۰۴	۰/۰۰۳	۰/۰۰۵	۰/۰۰۷	۰/۰۰۶	۰/۰۰۶	۰/۰۰۴
M_2Ca	۰/۰۳۵	۰/۰۳۲	۰/۰۲۹	۰/۰۳	۰/۰۱۹	۰/۰۳۳	۰/۰۲۹	۰/۰۲۴	۰/۹۵۶
M_2Na	۰/۰۰۱	۰/۰۰۱	۰/۰۰۱	۰	۰/۰۰۱	۰/۰۰۱	۰/۰۰۱	۰/۰۰۱	۰/۰۰۲
Sum_cat	۴	۴	۴	۴	۴	۴	۴	۴	۴

جدول ۲. ترکیب شیمیایی کلینوپیروکسن‌ها در پیروکسنت نیریز (مقادیر بر حسب درصد وزنی می‌باشد).

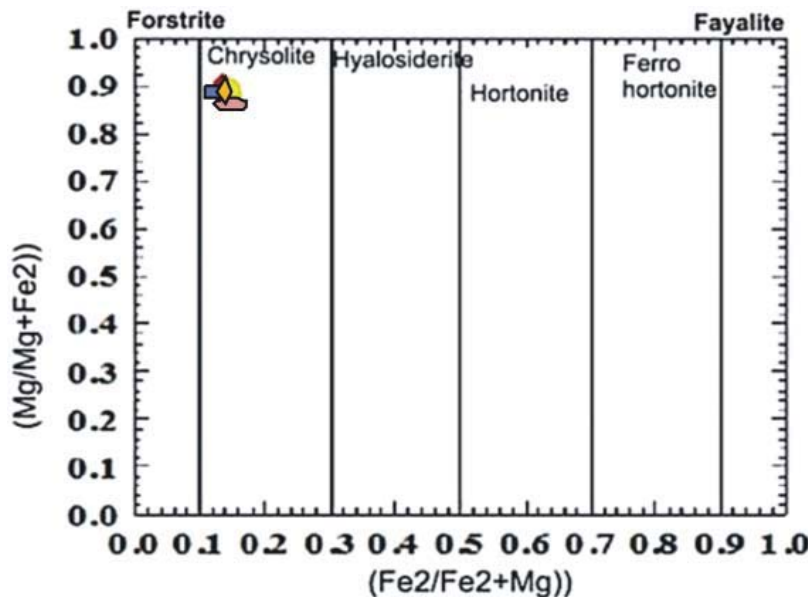
Descrip.	۱	۲	۳	۴	۵	۶
Na ₂ O	۰/۱۱	۰/۱۱	۰/۱۲	۰/۱۱	۰/۱۲	۰/۱۳
CaO	۲۳/۱۸	۲۳/۰۲	۲۲/۹۱	۲۳/۹	۲۳/۰۱	۲۲/۰۸
FeO	۳/۲۶	۳/۰۴	۳/۱۹	۳/۱۴	۳/۵۲	۳/۲۹
MgO	۱۶/۸۹	۱۶/۷۹	۱۶/۹۲	۱۶/۶۹	۱۷/۰۲	۱۶/۹۵
TiO ₂	۰/۰۹	۰/۰۶	۰/۰۸	۰/۰۸	۰/۱۱	۰/۰۹
MnO	۰/۱۱	۰/۱	۰/۱۲	۰/۱۳	۰/۱۹	۰/۰۹
Al ₂ O ₃	۲/۰۹	۲/۲۶	۲/۳۲	۲/۴۳	۲/۴۳	۲/۳۸
Cr ₂ O ₃	۰/۶۱	۰/۰۷	۰/۰۹	۰/۰۹	۰/۰۹	۰/۶
SiO ₂	۵۳/۸۷	۵۴/۱۵	۵۴/۱۲	۵۳/۵۶	۵۳/۵۶	۵۳/۸۲
Total	۱۰۰/۲	۱۰۰/۱۱	۱۰۰/۳۹	۹۹/۶۲	۱۰۰/۰۰	۱۰۰/۱۴
TSi	۱/۹۷	۱/۹۷۲	۱/۹۷۰	۱/۹۶	۱/۹۴۲	۱/۹۰۸
TAI	۰/۰۴	۰/۰۲۸	۰/۰۳۵	۰/۰۴	۰/۰۵۸	۰/۰۴۲
M ₁ A ₁	۰/۰۰	۰/۰۷۹	۰/۰۷۰	۰/۰۷۰	۰/۰۴۵	۰/۰۷
M ₁ Ti	۰/۰۰۲	۰/۰۰۲	۰/۰۰۲	۰/۰۰۲	۰/۰۰۳	۰/۰۰۲
M ₁ Cr	۰/۰۱۸	۰/۰۱۶	۰/۰۱۶	۰/۰۱۷	۰/۰۱۷	۰/۰۱۷
M ₁ Mg	۰/۹۱۶	۰/۹۱۱	۰/۹۱۶	۰/۹۱	۰/۹۲	۰/۹۱۹
M ₂ Mg	•	•	•	•	•	•
M ₂ Fe ₂	۰/۰۸۵	۰/۰۹۱	۰/۰۹۶	۰/۰۹	۰/۰۹۲	۰/۰۹۹
M ₂ Mn	۰/۰۰۳	۰/۰۰۳	۰/۰۰۴	۰/۰۰۴	۰/۰۰۶	۰/۰۰۳
M ₂ Ca	۰/۹۰۴	۰/۸۹۸	۰/۸۹۱	۰/۸۹۸	۰/۸۹۴	۰/۸۸۹
M ₂ Na	۰/۰۰۸	۰/۰۰۸	۰/۰۰۸	۰/۰۰۸	۰/۰۰۸	۰/۰۰۹
Sum_cat	۴	۴	۴	۴	۴	۴



شکل ۵. کلینوپیروکسن‌های منطقه نیریز از دیوپسید و ارتوپیروکسن‌ها از انستاتیت غنی می‌باشند.

جدول ۳. ترکیب شیمیایی الیوین در پیروکسین‌های نیریز (مقادیر بر حسب درصد وزنی می‌باشند).

Descrip.	۱	۲	۳	۴	۵
Na ₂ O	۰/۰۲	۰/۱	۰/۰۸	۰/۱۳	۰/۰۶
CaO	۰/۰۴	۰/۱۲	۰/۱	۰/۱۵	۰/۰۹
FeO	۱۴/۶۱	۱۲/۹۱	۱۳/۴۱	۱۳/۸۸	۱۴/۳
MgO	۴۴/۸۳	۴۵/۳۲	۴۵/۱	۴۴/۹	۴۵/۳
TiO ₂	۰/۰۱	۰/۰۱	۰/۰۱	۰/۰۱	۰/۰۱
MnO	۰/۲۳	۰/۲۴	۰/۲۲	۰/۲۷	۰/۳
SiO ₂	۴۰/۳	۴۰/۳	۴۱/۱	۴۰/۷	۳۹/۹
Total	۱۰۰/۰۴	۹۹/۰۲	۱۰۰/۰۲	۱۰۰/۰۴	۹۹/۹۶
Si	۱/۰۰۸	۱/۰۱۱	۱/۰۱	۱/۰۱۳	۱/۰۱
Fe ₂	۰/۳۰۶	۰/۲۷۱	۰/۲۸	۰/۲۷۸	۰/۳۱
Mg	۱/۶۷۲	۱/۶۹۵	۱/۶۸	۱/۶۸	۱/۶۷۵
Mn	۰/۰۰۵	۰/۰۰۵	۰/۰۰۵	۰/۰۰۵	۰/۰۰۵
Ca	۰/۰۰۱	۰/۰۰۳	۰/۰۰۱	۰/۰۰۳	۰/۰۰۲
Na	۰/۰۰۱	۰/۰۰۵	۰/۰۰۴	۰/۰۰۵	۰/۰۰۳
Sum_cat	۲/۹۹۳	۲/۹۹	۲/۹۸	۲/۹۸۴	۳/۰۰۵



شکل ۶. ترکیب الیوین‌های منطقه نیریز در محدوده کانی کریزولیت قرار دارد.

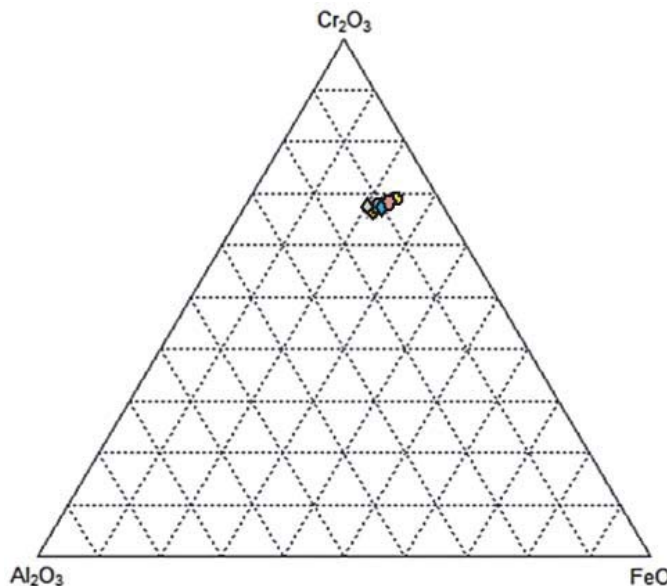
جدول ۴. ترکیب شیمیایی کرومیت‌های موجود در پیروکسینیت‌های نیریز، (مقادیر بر حسب درصد وزنی می‌باشند).

Sample	۱	۲	۳	۴	۵	۶	۷	۸
MgO	۹/۷۲	۹/۶۸	۹/۱۸	۹/۰۴	۷/۷۷	۹/۵۰	۹/۹۶	۱۰/۰۲
Al ₂ O ₃	۷/۴۹	۷/۴۸	۷/۷۶	۸/۸۵	۵/۴۵	۷/۶۱	۱۰/۶۴	۱۰/۸۷
FeO	۲۱/۸۳	۲۱/۷۷	۲۲/۵۶	۲۲/۷۵	۲۱/۵۴	۲۱/۸۲	۱۸/۹۳	۱۹/۰۱
Cr ₂ O ₃	۶۰/۲۵	۶۰/۹۹	۶۰/۱۷	۵۸/۹۹	۵۸/۵۴	۶۰/۲۱	۵۹/۸۰	۵۹/۱۰
MnO	۰/۴۳	۰/۴۱	۰/۴۳	۰/۴۴	۰/۴۱	۰/۴۳	۰/۲۵	۰/۲۰
TiO ₂	۰/۱۰	۰/۰۸	۰/۰۵	۰/۱۳	۰/۰۶	۰/۰۹	۰/۰۸	۰/۰۶
Al	۰/۳۰	۰/۲۹	۰/۳۱	۰/۳۵	۰/۲۳	۰/۳	۰/۴۱	۰/۴۲
Ti	۰/۰۱	۰/۰۱	۰/۰۱	۰/۰۱	۰/۰۲	۰/۰۲	۰/۰۲	۰/۰۱
Fe ₂	۰/۵۰	۰/۵۱	۰/۵۳	۰/۵۴	۰/۵۷	۰/۵۱	۰/۵۰	۰/۵۰
Fe ₃	۰/۱۱	۰/۱۰	۰/۱۰	۰/۱۰	۰/۰۹	۰/۱۰	۰/۰۲	۰/۰۳
Cr	۱/۵۹	۱/۶۱	۱/۵۹	۱/۵۵	۱/۶۸	۱/۶	۱/۵۶	۱/۵۵
Mn	۰/۰۱	۰/۰۱	۰/۰۱	۰/۰۱	۰/۰۱	۰/۰۱	۰/۰۱	۰/۰۱
Mg	۰/۴۹	۰/۴۸	۰/۴۶	۰/۴۵	۰/۴۲	۰/۴۸	۰/۴۹	۰/۴۹
sum Cat.	۳	۳	۳	۳	۳	۳	۳	۳
Mg#	۵/۴۹	۵/۴۸	۵/۴۶	۵/۴۵	۴/۴۲	۵/۴۸	۵/۴۹	۵/۴۹
Cr#	۸۴	۸۵	۸۴	۸۲	۸۸	۸۴	۷۹	۷۸

No. of atoms, O = 4

Cr# = 100 Cr/(Cr+Al)

Mg# = 100 Mg/(Mg+Fe+2)



شکل ۷. موقعیت کرومیت موجود در ارتوپیروکسینیت‌های نیریز در دیاگرام $\text{Al}_2\text{O}_3\text{-Cr}_2\text{O}_3\text{-FeO}$

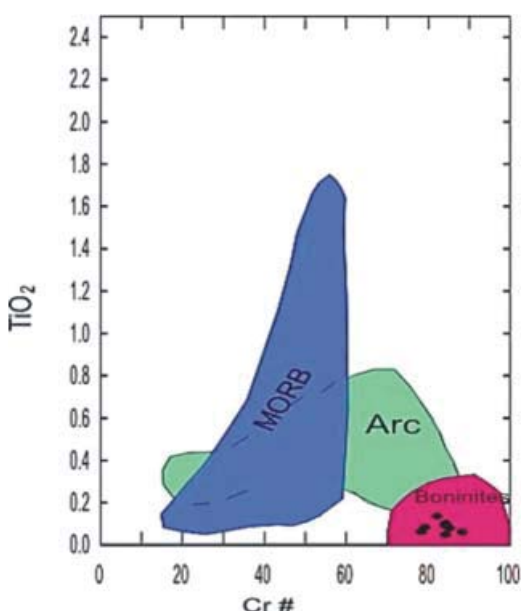
بحث

تقسیم‌بندی کانسارهای گروه پلاتین

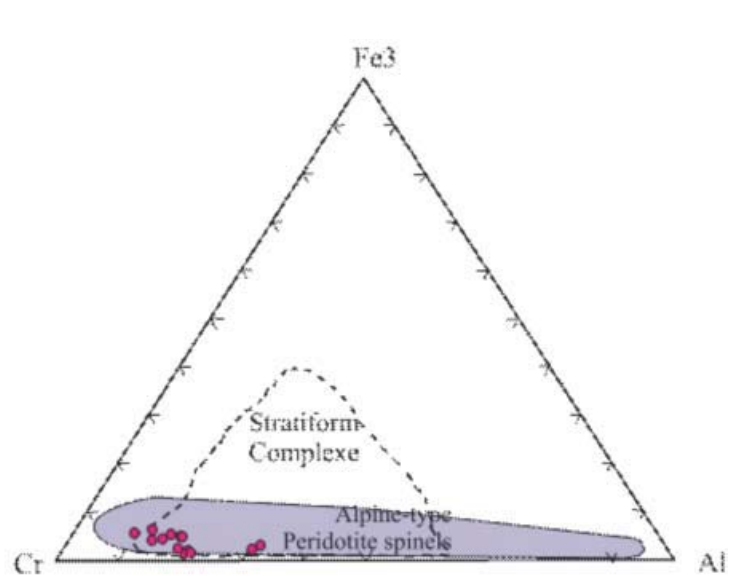
کانسارهای گروه پلاتین در چهار گروه اصلی قرار می‌گیرند:
 ۱) کانسارهای ماقمایی: کانسارهای ماقمایی Cu, Ni و PGE در توده‌های ماقمایی مافیک و یا الترامافیک تشکیل شده و در نتیجه فرایندهای تبلور، تفریق و تمرکز بوجود می‌آیند (Eck et al., 2005). این کانسارها خود به دو گروه تقسیم می‌شوند:
 ۱) کانسارهای غنی از سولفور که از نیکل و مس غنی بوده و

ترکیب شیمیایی این کرومیت‌ها $\text{Mg}_{0.47}, \text{Fe}_{0.52}, \text{Mn}_{0.01}(\text{Cr}_{1.55}, \text{Ti}_{0.002})_{0.4}$ ، Cr/Fe بین ۲/۴۵ تا ۲/۹۵ و میانگین میزان $\text{Cr} \# 4/81$ می‌باشد.

کرومیت‌های موجود در پیروکسینیت‌های نیریز، میزان Al_2O_3 (%) بالا (Cr_2O_3 %)، میزان تقریبی Fe (%) و میزان اکسید تیتانیوم پائین دارند. تیپ کرومیت‌های این منطقه آلبی (شکل ۸) و از ماقمایی با ترکیب بونینیتی به وجود آمده‌اند (شکل ۹).



شکل ۹. کرومیت‌های نیریز در محدوده ترکیب بونینیتی واقع می‌شوند (نمودار برگرفته از Page et al., 2008).



شکل ۸. کرومیت‌های منطقه نیریز به تیپ آلبی تعلق دارند (نمودار برگرفته از Cookenboo et al., 1997).

کرومیت می دانند (Naldrett and Cabri, 1996).

۲. در فرضیه دوم این کانه ها از ماگما متبلور شده اند و به هنگام تبلور کرومیت به صورت مکانیکی در آن به دام افتاده اند. بالا رفتن فشار بخشی اکسیژن باعث آزاد شدن آهن موجود در کانه های گروه پلاتین و ورود آن به ساختار کانی های دیگر گشته و در نتیجه کانه های PGE از عناصر گروه پلاتین غنی می گردند (Auge, 1988). ۳. در فرضیه سوم عناصر گروه پلاتین متحرک شده و در اثر یک پدیده هیدروترمال، تبلور و تمرکز آنها انجام می شود. این پدیده بیشتر به هنگام سرپائینی شدن صورت می گیرد (Stumpfi, and Tarkian, 1976).

در جدول ۵ غلظت عناصر گروه پلاتین، طلا، نیکل، مس و سولفور در معادن مختلف تیپ های اصلی کانساری (Cameron et al., 2005) و در گوشه اولیه (McDonough and Sun, 1995) برای مقایسه با پیروکسینت های منطقه نیریز آورده شده است.

کانی سازی Pt و Pd در نیریز

همان گونه که از جدول ۶ پیداست میزان پلاتینیوم در سنگ های الترامافیک توده افیولیتی نیریز بالاتر از میزان پالادیوم است و همچنین میزان پلاتینیوم و پالادیوم در دانه های کرومیت پیروکسینت ها، بیشتر از میزان این عناصر در کانی های پیروکسین پیروکسینت ها می باشد. بالاترین میزان مجموع پلاتینیوم و پالادیوم را منطقه دروازه چنان با میانگین ۱۱۳ ppb (پلاتینیوم در کرومیت

عناصر گروه پلاتین محصول فرعی این دسته می باشند. بنظر می رسد که این کانسارها مقادیر فراوان گوگرد خود را از آلودگی با سنگ های دیواره پوسته ای غنی از سولفور به دست آورده باشند. ۲) کانسارهای فقیر از سولفور که عناصر گروه پلاتین ارزش اقتصادی بالاتری از محتوای نیکل و مس داشته و بعنوان کانسارهای PGE شناخته می شوند. به نظر می رسد مقادیر کم سولفور آنها از اجزای اصلی ماگمای اولیه باشد.

۲) کانسارهای رسوی: کانسارهای رسوی Cu، Ni و PGE دو تیپ مجزای انباسته های پلاسما و شیل های سیاه سولفیدی دارند (Eckstrand, 2005).

۳) کانسارهای هیدروترمال: این گروه از کانسارها، محیط های تهنشینی متنوعی را شامل می شوند و فلزات حمل شده در رگمه ها، حفره مانده ها یا اشکال جایگزینی رسوی می کنند (Eckstrand, 2005).

۴) لاتریت ها: کانسارهای لاتریتی Ni و Co در مقاطع عمیق هوازده رخ می دهند و در پریدوتیت های غنی از الیوین در مناطق آب و هوایی مرطوب استوایی یا نیمه استوایی توسعه پیدا کرده اند (Eckstrand, 2005).

در مورد منشأ کانه های PGE ها اظهار نظرهای مختلفی شده است که مهمترین آنها را می توان به شرح زیر بیان نمود:

۱. در فرضیه اول، براساس هم خوانی بسیار مشخص مقادیر Ir، Ru و Os با عنصر Cr در کرومیت ها، کانه های گروه پلاتین را محصول نوعی برون رانش عناصر گروه پلاتین از درون شبکه

جدول ۵: فراوانی PGE، Cu، Ni، Au و S در تیپ های اصلی کانسارهای PGE و در گوشه اولیه.

Locality	Os (ppb)	Ir (ppb)	Ru (ppb)	Rh (ppb)	Pt (ppb)	Pd (ppb)	Au (ppb)	Ni %	Cu %	S %
Primitive Mantle	۳/۴	۳/۲	۵	۰/۹	۷/۱	۳/۹	۱	۰/۱۹۶	۰/۰۳	۰/۰۳
Sulfide-Poor Mineralization										
UG2	۹۸	۱۲۳	۶۲۹	۳۶۳	۲۵۵۸	۱۸۵۰	۱۷۴	۰/۱۴۶	۰/۱۷۳	۰/۴۵
Merensky	۶۳	۷۴	۴۳۰	۲۴۰	۳۶۴۰	۱۵۳۰	۳۱۰	۰/۱۷	۰/۰۹	۰/۴۲
Great Dyke	۶۳	۱۱۰	۳۶۰	۳۸	۱۲۸	۱۵۶۰	۲۱	۰/۱۴۱	-	۰/۰۲
Stillwater					۱۳۷۰	۸۹۰	۱۷۰	۰/۲۴	۰/۴۶	۱/۶
Lac des Iles	۱/۴	۰/۹۵	۳/۹	۲/۴	۵۴۲	۴۷۴۰	۴۷۰	۰/۱۶	۰/۱۶	۰/۶
Sulfide-Rich Mineralization Normalized to 100% sulfide										
Sudbury	۵	۸	۹	۱۹	۵۹۰	۵۱۱	۷۹	۳/۶	۲/۸	
Talnakh	۲۸۰	۲۰۰	۲۰۰	۵۲۰	۲۳۵۰	۹۹۸۰	۲۶۰	۴/۷۴	۳/۵۷	۳۱/۳
Lennon Shoot	۳۵۷	۱۹۷	۳۶۵	۲۱۲	۱۶۷۳	۱۸۹۹	۷۲۱۵	۴۹/۶	۱۲/۴	۳۶/۶
Suhanko	۲۰	۵۰	۴۴	۳۵۷	۱۵۰۶	۱۱۰۳۰	۱۰۰	۲	۰/۷۲	۲۵/۸
Pechenga	۶۴	۴۵	۱۱۲	۵۵	۳۵۹	۳۸۶	۱۲	۸/۹	۱/۹۴	۳۷/۴
Placer Weighted mean of cumulative production 1936 to 1972 (%)										
Goodnews Bay	۲/۲	۱۱/۳	۰/۲	۱/۳	۲/۸۲	۰/۴	۲/۴			

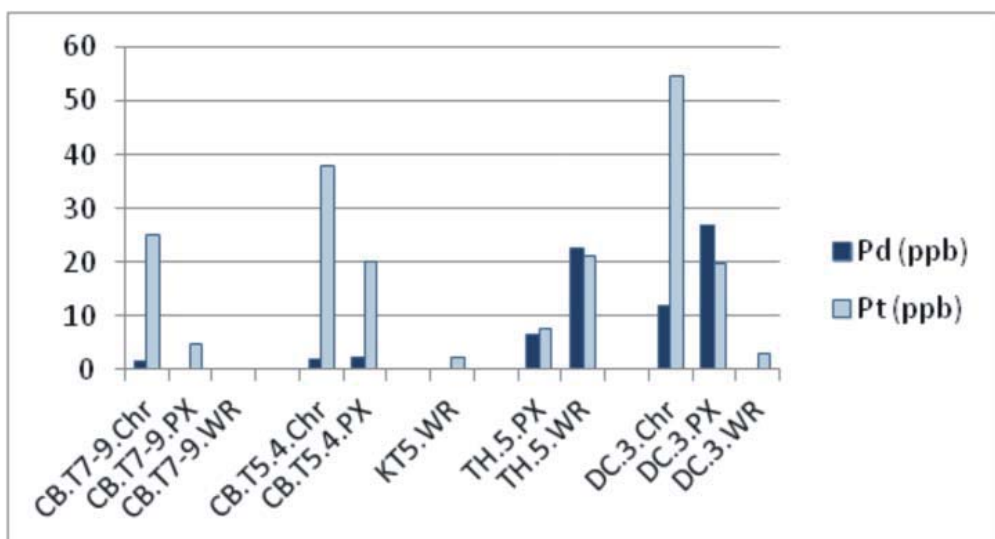
به میزان کمی غنی‌شده‌گی نشان می‌دهند. در منطقه دروازه چnar به همانند بقیه نواحی توده افیولیتی نیریز، غلظت‌های پلاتینیوم و پالادیوم اندک است و مقدار عصر پلاتینیوم در کرومیت موجود در پیروکسینیت این منطقه ppb ۵۴ و مقدار پالادیوم آن ppb در پیروکسینیت (شکل ۱۰) بیشتر از پلاتینیوم (۱۹/۶ ppb) و در نمونه ۱۲ می‌باشد. در کانی‌های پیروکسین برخلاف کرومیت‌ها میزان پالادیوم (۳۶/۷ ppb) بیشتر از پلاتینیوم (۱۹/۶ ppb) و در نمونه سنگ کل غلظت پلاتینیوم (۳/۱ ppb) و پالادیوم (۳/۱ ppb) بسیار کمتر از کانی‌های پیروکسین و کرومیت است.

بخش کشتک از لحاظ عناصر گروه پلاتین بسیار فقیر و حتی میزان این عناصر از گوشه‌های اولیه نیز کمتر می‌باشد. جمع پلاتینیوم و پالادیوم در سنگ کل به کمتر از ppb ۵ می‌رسد (جدول ۶).

و کانی‌های پیروکسین به ترتیب ۵۴/۷ و ۱۹/۶ و پالادیوم ۱۲ و ppb ۲۶/۷ و کمترین این عناصر را منطقه کشتک (کمتر از ppb ۵) دارد (شکل ۱۰). غلظت عنصر پلاتینیوم نمونه‌های منطقه چشم‌بید در کرومیت جدا شده از پیروکسینیت (۲۵/۲ ppb)، بالاتر از کانی‌های پیروکسین (۴/۷ ppb)، و سنگ کل پیروکسینیت (۱/۳ ppb) می‌باشد (شکل ۱۰). غلظت پالادیوم، به استثنای کرومیت جدا شده از پیروکسینیت (۱/۶ ppb)، غالباً کمتر از حد آشکارسازی دستگاه (۱/۳ ppb) است. در تنگ حنا غلظت Pt در نمونه پیروکسینیت تقریباً ۲۲ می‌باشد و در کانی‌های پیروکسین، این عناصر از فراوانی کمتری برخوردار هستند (به ترتیب ۷/۷ و ۷/۵ ppb) (شکل ۱۰). این عناصر نسبت به گوشه

جدول ۶. نتایج تجزیه ICP-MS به روش آذر محک کانی‌های کرومیت (Chr) و پیروکسین (Px) موجود در پیروکسینیت‌ها و نیز سنگ کل (WR).

PGE concentrations by ICP-MS		Pd (ppb)	Pt (ppb)	Pt+Pd (ppb)
چشم‌بید	Chromite	۱/۶	۲۵/۲	۲۶/۸
	Pyroxene	<۱/۳	۴/۷	
	Ultramafic rock	<۱/۳	۱/۳	
چشم‌بید	Chromite	۱/۹	۳۷/۸	۳۹/۷
	Pyroxene	۲/۳	۲۰	۲۲/۳
کشتک	Ultramafic rock	<۱/۳	۲/۴	
تنگ حنا	Pyroxene	۷/۵	۷/۷	۱۴/۲
	Ultramafic rock	۲۲/۵	۲۱/۲	۴۳/۷
دروازه چnar	Chromite	۱۲	۵۴/۷	۶۶/۷
	Pyroxene	۲۶/۷	۱۹/۶	۴۶/۳
	Ultramafic rock	<۱/۳	۳/۱	



شکل ۱۰. نمودار میله‌ای که غلظت عناصر پلاتینیوم و پالادیوم را در نمونه‌های منطقه چشم‌بید (CB)، تنگ حنا (TH)، دروازه چnar (DC) و کشتک (KT) (Chr: Chromite, Px: Pyroxenite, WR: Whole rock) نشان می‌دهد.

Asian Earth Sciences, 19, 61–76.

- Barnes, S.J., and Franceis, D., 1995. The distribution of platinum-group elements, nickel, copper and gold in the Muskox layered intrusion, Northwest Territories, Canada. Economic Geology, 90, 135-154.

- Cameron, E.M. and Hattori, K.H., 2005. Platinum-group element in Geochemical Exploration, in exploration for platinum-group elements deposits (J.E. Mungall). Short Course delivered on behalf of the Mineralogical Association of Canada in Oulu, Finland, 35, 287-307.

- Cookenboo, H.O., Bustin, R.M. and Wilks, K.R., 1997. Detrital chromian spinel compositions used to reconstruct the tectonic setting of provenance: implications for orogeny in the Canadian cordillera. Journal of Sedimentary Research, 67, 116-123.

- Eckstrand, O.R., 2005. Ni–Cu–Cr–PGE mineralization type: distribution and classification in exploration for platinum-group elements deposits (J.E. Mungall). Short Course delivered on behalf of the Mineralogical Association of Canada in Oulu, 35, 487-494.

- McDonough, W.F., and Sun, S.S., 1995. Composition of the Earth. Chemical Geology, 120, 223-253.

- Naldrett, A.J., and Cabri L.J., 1996. Ultramafic and related mafic rocks: Their classification and genesis with special reference to the concentration of nickel sulfides and platinum-group element. Economic Geology, 71, 1131-1158.

- Page, P., Bedard, J.H., Schroetter, J.M. and Tremblay, A., 2008. Mantle petrology and mineralogy of the Thetford, Mines Ophiolite Complex. Lithos, 100, 255–292.

- Proenza, J.A., Zaccarini, F., Escayola, M., Cabana, C., Schalamuk, A., and Garuti, G., 2008. Composition and textures of chromite and platinum group minerals in western ophiolitic belt from Pamean Ranges of Cordoba, Argentina. Ore Geology Reviews, 33, 32 – 48.

- Sarkarinejad, K., 2003. Structural and microstructural analysis of paleotransform fault zone in neyriz ophiolite, Iran. Geological Society of London Special Publication, 218, 129-145.

- Stumpfi, E.F. and Tarkian, M., 1976. Platinum genesis: new mineralogical evidence. Economic Geology, 71, 1451-1460.

- Whitney, D.L. and Evans, B.W., 2010. Abbreviations for names of rock-forming minerals. American Mineralogist, 95, 185-187.

لازم به تاکید است که جهت استخراج عناصر گروه پلاتین، فراوانی آنها در توده معدنی بایستی بیشتر از ۵ ppm باشد در حالی که با توجه به جدول ۶، فراوانی Pt و Pd در بخش‌های مختلف منطقه نیریز در حد ppb و بسیار کمتر از میزان اقتصادی جهت استخراج می‌باشد.

تمایل عناصر گروه پلاتین به تمرکز در مذاب‌های غنی از سولفور، طی فرآیند ناامیختگی مذاب‌های سیلیکاتی، اکسید و سولفوری بالا است و در حین تبلور ماغما زمانی که فشار بخشی گوگرد پایین باشد، می‌توانند در کانی‌های اکسیدی و سیلیکاتی توزیع یابند. مقادیر غلظت عناصر گروه پلاتین در نمونه‌های منطقه نیریز، نشان دهنده فشار بخشی پائین گوگرد، و تمرکز کم آنها است.

نتیجه‌گیری

تمرکز پلاتینیوم و پالادیوم در پیروکسینیت‌های نیریز کمی بالاتر از ترکیب گوشه اولیه و غلظت پلاتینیوم نسبت به پالادیوم بیشتر است، همچنین فراوانی پلاتینیوم و پالادیوم در کرومیت‌های جدا شده از سنگ‌های پیروکسینیت بیشتر از کانی‌های پیروکسن آنها می‌باشد. این امر نشان دهنده آن است که در طول تبلور ماغما، عناصر گروه پلاتین در مذاب غنی از اکسید بیشتر از مذاب سیلیکاتی تمرکز می‌یابند.

کرومیت‌های موجود در پیروکسینیت‌های منطقه دارای میانگین ترکیب شیمیایی $(\text{Cr}1.59, \text{Al}0.33)(\text{Fe}0.52, \text{Mn}0.01)(\text{TiO}_2, \text{Fe}0.08, \text{Cr}0.002, \text{Mg}0.47, \text{Fe}0.52, \text{Mn}0.01)$ با Cr/Fe #Cr = ۷۸ تا ۸۸ با میانگین 81 ± 5 و اکسید تیتانیوم TiO_2 % = 0.08 ± 0.01 می‌باشند. مقدار بیشینه تمرکز پائین (میانگین = 1.25×10^{-4}) در کانی کرومیت از ارتوپیروکسینیت‌های ناحیه دروازه $\text{Pt}+\text{Pd}$ در Cr/Fe #Cr = ۴۲/۵-۴۹/۵ و اکسید TiO_2 % = 0.08 ± 0.01 می‌باشد. این امر نشان دهنده آن است که کرومیت از ارتوپیروکسینیت‌های ناحیه دروازه اولیه است (مقادیر غلظت Pt و Pd در گوشه به ترتیب 7 ± 4 ppb و $66/7 \pm 4$ ppb) است که کمتر از غلظت این عناصر در ترکیب گوشه اولیه است (مقادیر غلظت Pt و Pd در گوشه به ترتیب 7 ± 4 ppb و $66/7 \pm 4$ ppb).

منابع

- آفتابی، ع.، ۱۳۸۳. زمین‌شناسی ایران، سازمان زمین‌شناسی و اکتشافات معدنی کشور. ۵۸۶.
- شرکت ملی نفت ایران (۱۹۷۹). نقشه زمین‌شناسی شیراز، مقیاس ۱:۲۵۰۰۰.
- شرکت ملی نفت ایران (۱۹۸۵). نقشه زمین‌شناسی نیریز، مقیاس ۱:۲۵۰۰۰.

- Auge, T., 1988. Platinum-group minerals in the Tiebaghi and Vourinos Ophiolitic Complexes: genetic implications. Canadian Mineralogist, 26, 177-192.

- Babaie, H.A., Ghazi, A.M., Babaei, A., La Tour, T.E. and Hassanipak, A.A., 2001. Geochemistry of arc volcanic rocks of the Zagros crush zone, Neyriz, Iran. Journal of